

ห้องสมุดงานวิจัย สำนักงานคณะกรรมการวิจัยแห่งชาติ



247450



ผลของสารเพิ่มความยืดหยุ่นต่อฟิล์มจากแป้งมันข้าวดีดแปรด้วยด่างในแอลกอฮอล์
EFFECT OF PLASTICIZER ON ALCOHOLIC-ALKALINE TREATED
MUNG BEAN STARCH FILMS

นายพิสิษฐพันธ์ กาจอุดมตะนะ

วิทยานิพนธ์ปริญญาวิทยาศาสตรมหาบัณฑิต
มหาวิทยาลัยขอนแก่น

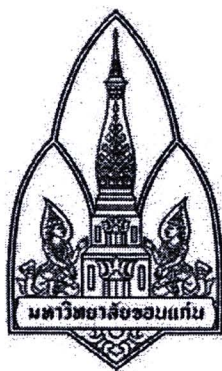
พ.ศ. 2554

600252428

ห้องสมุดงานวิจัย สำนักงานคณะกรรมการการวิจัยแห่งชาติ



247450



ผลของสารเพิ่มความยืดหยุ่นต่อฟิล์มจากแป้งถั่วเขียวดัดแปรด้วยด่างในแอลกอฮอล์
EFFECT OF PLASTICIZER ON ALCOHOLIC - ALKALINE TREATED
MUNG BEAN STARCH FILMS



นายพิสิษฐพันธุ์ กาญจนเดชะ

วิทยานิพนธ์ปริญญาวิทยาศาสตรมหาบัณฑิต

มหาวิทยาลัยขอนแก่น

พ.ศ. 2554

ผลของสารเพิ่มความยึดหยุ่นต่อฟิล์มจากแป้งถั่วเขียวดัดแปรด้วยด่างในแอลกอฮอล์



นายพิสิษฐพันธ์ กาญจนเตชะ

วิทยานิพนธ์นี้เป็นส่วนหนึ่งของการศึกษาตามหลักสูตรปริญญาวิทยาศาสตรมหาบัณฑิต

สาขาวิชาวิทยาศาสตร์ความงามและสุขภาพ

บัณฑิตวิทยาลัย มหาวิทยาลัยขอนแก่น

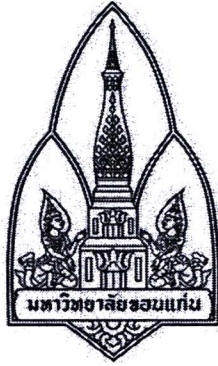
พ.ศ. 2554

**EFFECT OF PLASTICIZER ON ALCOHOLIC - ALKALINE TREATED
MUNG BEAN STARCH FILMS**

MR. PISITPUN KANCHANATECHA

**A THESIS SUBMITTED IN PARTIAL FULFILLMENT OF THE REQUIREMENTS
FOR THE DEGREE OF MASTER OF SCIENCE
IN AESTHETIC SCIENCES AND HEALTH
GRADUATE SCHOOL KHON KEAN UNIVERSITY**

2011



ใบรับรองวิทยานิพนธ์
มหาวิทยาลัยขอนแก่น
หลักสูตร
วิทยาศาสตรมหาบัณฑิต
สาขาวิชาวิทยาศาสตร์ความงามและสุขภาพ

ชื่อวิทยานิพนธ์: ผลของสารเพิ่มความยืดหยุ่นต่อฟิล์มจากแป้งถั่วเขียวคัดแปรด้วยด่าง
ในแอลกอฮอล์

ชื่อผู้ทำวิทยานิพนธ์: นายพิสิษฐพันธ์ กาญจนเดชะ

คณะกรรมการสอบวิทยานิพนธ์ รศ. ดร. ธเนศ พงศ์จรธยากุล ประธานคณะกรรมการ
รศ. ดร. ศรีสกุล สังข์ทองจีน กรรมการ
ผศ. ดร. ผดุงขวัญ จิตโรภาส กรรมการ

อาจารย์ที่ปรึกษาวิทยานิพนธ์:

..... ผดุงขวัญ จิตโรภาส อาจารย์ที่ปรึกษา
(ผู้ช่วยศาสตราจารย์ ดร. ผดุงขวัญ จิตโรภาส)

.....  อาจารย์ที่ปรึกษาร่วม
(ผู้ช่วยศาสตราจารย์ ดร. อารมย์ ตัดตะวะศาสตร์)

..... 
(รองศาสตราจารย์ ดร. ลำปาง แม่นมาตย์)
คณบดีบัณฑิตวิทยาลัย

..... 
(รองศาสตราจารย์ ดร. วงศ์วิวัฒน์ ทศนียกุล)
คณบดีคณะเภสัชศาสตร์

ลิขสิทธิ์ของมหาวิทยาลัยขอนแก่น

พิธีวิทยุพันธุ์ กาญจนเทศะ. 2554. ผลของสารเพิ่มความยืดหยุ่นต่อฟิล์มจากแป้งถั่วเขียวดัดแปรด้วยด่างในแอลกอฮอล์.
วิทยานิพนธ์ปริญญาวิทยาศาสตรมหาบัณฑิต สาขาวิชาวิทยาศาสตร์ความงามและสุขภาพ
บัณฑิตวิทยาลัย มหาวิทยาลัยขอนแก่น.

อาจารย์ที่ปรึกษาวิทยานิพนธ์: ผศ.ดร. ผดุงขวัญ จิตโรภาส, ผศ.ดร. อารมย์ ตัดตะวะศาสตร์

บทคัดย่อ

217450

การศึกษานี้มีวัตถุประสงค์เพื่อศึกษาคุณสมบัติของแป้งถั่วเขียวที่ดัดแปรด้วยด่างในแอลกอฮอล์ (alcoholic - alkaline treated mung bean starch) ศึกษาผลของสารเพิ่มความยืดหยุ่นต่อคุณสมบัติของฟิล์มแป้งถั่วเขียวดัดแปร และศึกษาคุณสมบัติของกระดาษเคลือบฟิล์มแป้งถั่วเขียวดัดแปร การเตรียมแป้งถั่วเขียวดัดแปรทำโดยการกระจายแป้งถั่วเขียว (mung bean starch) ลงใน 40 % เอทานอล และปรับสภาพด้วยสารละลายโซเดียมไฮดรอกไซด์เข้มข้น 3.0 โมลาร์ (molar, M) จากนั้นปรับความเป็นกรด - ด่างด้วยกรดไฮโดรคลอริกเข้มข้น 2.0 M ใน 40 % เอทานอล และกรดอะซิติกเข้มข้น 1.0 M ใน 40 % เอทานอล ผลการศึกษาพบว่าแป้งถั่วเขียวมีรูปร่างกลมรี ผิวเรียบ มีการดูดกลืนพลังงานความร้อนแสดงถึงช่วงอุณหภูมิการเกิดเจลลิตีในเซชัน และแป้งถั่วเขียวไม่พองตัวและละลายในน้ำที่อุณหภูมิห้อง ในขณะที่แป้งถั่วเขียวดัดแปรมีรูปร่างไม่แน่นอน ผิวไม่เรียบและไม่พบการดูดกลืนพลังงานความร้อนแสดงถึงความไม่เป็นออสันฐานซึ่งสอดคล้องกับคุณสมบัติการเลี้ยวเบนรังสีเอ็กซ์ นอกจากนี้แป้งถั่วเขียวดัดแปรยังสามารถพองตัวและละลายในน้ำที่อุณหภูมิห้อง ผลการศึกษาสารเพิ่มความยืดหยุ่น 2 ชนิด ได้แก่ กลีเซอรอลและซอร์บิทอล ที่ความเข้มข้น 10 % 20 % และ 30 % ต่อฟิล์มแป้งถั่วเขียวดัดแปรพบว่าชนิดและปริมาณของสารเพิ่มความยืดหยุ่นมีผลต่อคุณสมบัติของฟิล์มแป้งถั่วเขียวดัดแปร ซึ่งการเพิ่มปริมาณสารเพิ่มความยืดหยุ่นทำให้ความสามารถในการยึดตัว การซึมผ่านไอน้ำ การดูดซับความชื้นและการละลายของฟิล์มเพิ่มขึ้น โดยฟิล์มแป้งถั่วเขียวดัดแปรที่ใช้กลีเซอรอลมีค่ามากกว่าซอร์บิทอล แต่การต้านทานการเจาะของฟิล์มจากแป้งถั่วเขียวดัดแปรที่ใช้กลีเซอรอลมีค่าน้อยกว่าซอร์บิทอล นอกจากนี้ฟิล์มแป้งถั่วเขียวดัดแปรที่เติมและไม่เติมสารเพิ่มความยืดหยุ่นสามารถต้านทานการซึมผ่านของน้ำและน้ำมัน ได้ และเมื่อนำแป้งถั่วเขียวดัดแปรเคลือบกระดาษพบว่ากระดาษเคลือบฟิล์มแป้งถั่วเขียวดัดแปรมีความหนาแน่นมากกว่ากระดาษไม่เคลือบ โดยกระดาษเคลือบฟิล์มแป้งถั่วเขียวดัดแปรที่เติมและไม่เติมสารเพิ่มความยืดหยุ่นมีความสามารถในการต้านทานแรงเจาะและความสามารถในการยึดมากกว่าแต่ความสามารถในการซึมผ่านไอน้ำน้อยกว่ากระดาษที่ไม่เคลือบ และการเพิ่มความหนาของการเคลือบกระดาษทำให้ความสามารถในการต้านทานแรงเจาะและความสามารถในการยึดเพิ่มขึ้นแต่ความสามารถในการซึมผ่านไอน้ำลดลง โดยกระดาษเคลือบฟิล์มแป้งถั่วเขียวดัดแปรที่ใช้ซอร์บิทอลมีการต้านทานแรงเจาะและความสามารถในการยึดมากกว่า แต่มีการซึมผ่านไอน้ำน้อยกว่ากระดาษเคลือบฟิล์มแป้งถั่วเขียวดัดแปรที่ใช้กลีเซอรอล นอกจากนี้กระดาษเคลือบฟิล์มแป้งถั่วเขียวดัดแปรที่เติมและไม่เติมสารเพิ่มความยืดหยุ่นที่ความหนา 70 และ 75 ไมครอน สามารถต้านทานการซึมผ่านของน้ำและน้ำมัน ได้ จึงสรุปได้ว่าสารเพิ่มความยืดหยุ่นมีผลต่อคุณสมบัติของฟิล์มแป้งถั่วเขียวดัดแปร และกระดาษเคลือบฟิล์มแป้งถั่วเขียวดัดแปร แต่อย่างไรก็ตามกระดาษเคลือบที่ใช้แป้งถั่วเขียวดัดแปรเป็นสารก่อกอฟิล์มมีความเป็นไปได้อย่างยิ่งสำหรับใช้เป็นวัสดุบรรจุภัณฑ์

Pisitpun Kanchanatecha. 2011. **Effect of Plasticizer on Alcoholic - Alkaline Treated Mung Bean Starch Films**. Master of Science Thesis in Aesthetic Sciences and Health, Graduate School, Khon Kean University.

Thesis Advisors: Asst. Prof. Dr. Padungkwan Chitropas, Asst. Prof. Dr. Arom Tattawasart

ABSTRACT

217450

The purposes of this study were to investigate the properties of alcoholic - alkaline treated mung bean starch (AMS), effect of plasticizers on the properties of AMS films, and properties of AMS - coated paper. AMS was prepared by suspending mung bean starch (MBS) in 40 % (v/v) ethanol and adding 3.0 M sodium hydroxide. The suspension of AMS was neutralized by using 2.0 M hydrochloric acid in 40 % (v/v) ethanol and 1.0 M acetic acid in 40 % (v/v) ethanol. The results showed that MBS was oval shape and had smooth surface. Gelatinization endotherm was observed and could not swell and dissolve in water at room temperature. Meanwhile, AMS granule was irregular and variable appearance and gelatinization endotherm did not appear. This indicated that AMS was amorphous form, which was confirmed by powder XRD. Furthermore, the AMS could be swelling and dissolved in water at room temperature. The result from study of plasticizer type (glycerol and sorbitol) and amount of plasticizer (10 %, 20 % and 30 %) demonstrated that type and amount of plasticizer affected on AMS film properties. Increasing amount of plasticizer increased % elongation, water vapor permeability, moisture absorption and solubility of AMS films. These properties of AMS films using glycerol were higher than AMS films using sorbitol as a plasticizer. However, puncture strength of the films using glycerol was lesser than the films using sorbitol as a plasticizer. The AMS films with and without plasticizer showed ability to resist water and oil penetration. The AMS coated papers were thicker than uncoated papers. For papers containing AMS with and without plasticizer, the puncture strength and % elongation of the papers were increased whereas the water vapor permeability of the papers was decreased. Increase of coated film thickness improved puncture strength and % elongation of the coated paper, while water vapor permeability of the coated paper was decreased. The puncture strength and % elongation of the papers coated with AMS using sorbitol were higher than those using glycerol as a plasticizer. However, water vapor permeability of the papers coated with AMS using sorbitol was lower than those using glycerol as a plasticizer. In addition, the papers containing AMS with and without plasticizer at the thicknesses of 70 and 75 μm showed significantly greater ability to resist water and oil penetration. It can be concluded that plasticizer affected properties of AMS film and AMS film coated paper. Nevertheless, film coated paper using AMS as a film former displayed strong feasibility for packaging material.

กิตติกรรมประกาศ

ขอกราบขอบพระคุณคณาจารย์ที่ปรึกษาวิทยานิพนธ์ ได้แก่ ผู้ช่วยศาสตราจารย์ ดร. ผดุงขวัญ จิตโรภาส ที่กรุณาให้โอกาสและแนะนำแนวทางในการศึกษาและทำวิจัย และ ผู้ช่วยศาสตราจารย์ ดร. อารมย์ ตัดตะวะศาสตร์ ที่กรุณาให้แนวคิดและมุมมองที่เปิดกว้างและเป็นประโยชน์ ตลอดจนให้ความรู้ คำปรึกษาและช่วยเหลือในการแก้ปัญหาที่เกิดขึ้นด้วยความใส่ใจ ตลอดจนตรวจสอบและแก้ไขข้อบกพร่องต่างๆ จนทำให้วิทยานิพนธ์ฉบับนี้สำเร็จลงไปได้

ขอขอบพระคุณ รองศาสตราจารย์ ดร. ธเนศ พงศ์จรรยากุล ที่สนับสนุนเครื่องมือและคำแนะนำที่เป็นประโยชน์ในการศึกษาวิจัย และ ขอขอบพระคุณ รองศาสตราจารย์ ดร. ศรีสกุล สังข์ทองจีน ที่ให้คำแนะนำเพื่อเป็นแนวทางในการปรับปรุงให้วิทยานิพนธ์ฉบับนี้มีความสมบูรณ์ยิ่งขึ้น

ขอขอบพระคุณคณาจารย์ทุกท่านที่คอยให้คำแนะนำในการพัฒนาการศึกษาของข้าพเจ้าให้ดีขึ้น

ขอขอบคุณ คุณฉวีราวุธ ปทุมชนทรัพย์ ที่ให้ข้อคิดและคำแนะนำที่เป็นประโยชน์ และขอขอบคุณนักศึกษาระดับบัณฑิตศึกษาสมาชิกห้องปฏิบัติการเทคโนโลยีเกษตรกรรม 1 (MDL 1) ทุกท่าน สำหรับข้อเสนอแนะ การให้คำปรึกษา การช่วยเหลือและให้กำลังใจตลอดมา

ขอขอบคุณบัณฑิตวิทยาลัย มหาวิทยาลัยขอนแก่น ที่ได้สนับสนุนทุนวิจัยในโครงการทุนอุดหนุนทั่วไปเพื่อสนับสนุนการจัดทำวิทยานิพนธ์ สำหรับการทำให้วิทยานิพนธ์ในครั้งนี้

ขอขอบคุณคณะเกษตรศาสตร์ มหาวิทยาลัยขอนแก่นที่ได้สนับสนุนทุนวิจัยในโครงการกองทุนส่งเสริมและพัฒนาการผลิตบัณฑิต และสนับสนุนเครื่องมือในการทำจัดทำวิทยานิพนธ์

ขอขอบคุณเจ้าหน้าที่ห้องปฏิบัติการเทคโนโลยีเกษตรกรรม 1 และบุคลากรหน่วยปฏิบัติการและบริการวิชาการคณะเกษตรศาสตร์ มหาวิทยาลัยขอนแก่น สำหรับความช่วยเหลือต่างๆ

สุดท้ายนี้ขอกราบขอบพระคุณบิดา มารดา บุพการี และบรรดาญาติมิตรทั้งหลายที่ให้การสนับสนุนและเป็นกำลังใจในการศึกษาตลอดมา หากมีข้อบกพร่องประการใดก็ตามในวิทยานิพนธ์ ผู้ทำวิทยานิพนธ์ต้องกราบขออภัยและขอน้อมรับคำแนะนำไว้ด้วยความขอบคุณยิ่ง

พิสิษฐพันธ์ กาญจนเดชะ

สารบัญ

	หน้า
บทคัดย่อภาษาไทย	ก
บทคัดย่อภาษาอังกฤษ	ข
กิตติกรรมประกาศ	ค
สารบัญตาราง	ฅ
สารบัญภาพ	ซ
รายการสัญลักษณ์และคำย่อ	ฎ
บทที่ 1 บทนำ	1
1. ความเป็นมาและความสำคัญของปัญหา	1
2. วัตถุประสงค์ของงานวิจัย	2
3. ขอบเขตการวิจัย	3
4. ประโยชน์ที่คาดว่าจะได้รับ	3
บทที่ 2 วรรณกรรมและงานวิจัยที่เกี่ยวข้อง	4
1. บรรจุภัณฑ์อาหารที่ผลิตจากเยื่อและกระดาษ	4
2. บรรจุภัณฑ์พลาสติก	5
3. พลาสติกชีวภาพ	6
4. फिल्मบริโกลคได้	9
5. แป้ง	12
6. फिल्मบริโกลคได้จากแป้ง	15
7. แป้งถั่วเขียว	16
8. สารเพิ่มความยืดหยุ่น	18
9. การตัดแปรแป้ง	20
10. กระดาษเคลือบฟิล์มบริโกลคได้	23
บทที่ 3 วิธีดำเนินงานวิจัย	25
1. วัตถุประสงค์	25
2. สารเคมี	25
3. อุปกรณ์และเครื่องมือ	25
4. วิธีดำเนินการวิจัย	26
5. การวิเคราะห์ทางสถิติ	34
บทที่ 4 ผลการวิจัยและอภิปรายผล	35
1. คุณสมบัติของแป้งถั่วเขียวตัดแปร	35
2. ผลของสารเพิ่มความยืดหยุ่นต่อความหนืดของสารกระจายตัวแป้งถั่วเขียวตัดแปร	41

สารบัญ (ต่อ)

	หน้า
3. ผลของสารเพิ่มความยืดหยุ่นต่อคุณสมบัติของฟิล์มแป้งถั่วเขียวคัดแปร	43
4. ผลของสารเพิ่มความยืดหยุ่นต่อคุณสมบัติของกระดาษเคลือบฟิล์มแป้งถั่วเขียวคัดแปร	53
บทที่ 5 สรุปผลการวิจัยและข้อเสนอแนะ	70
1. สรุปผลการวิจัย	70
2. ข้อเสนอแนะ	70
เอกสารอ้างอิง	72
การเผยแพร่ผลงานวิทยานิพนธ์	76

สารบัญตาราง

		หน้า
ตารางที่ 1	Comparative properties of bio-derived polymers and comparison with polyethylene and polystyrene	10
ตารางที่ 2	คุณสมบัติที่สำคัญของอะมิโลสและอะมิโลเพกติน	14
ตารางที่ 3	ความสามารถในการพองตัวและการละลายของสารกระจายตัวแป้งถั่วเขียว และแป้งถั่วเขียวดัดแปร	39
ตารางที่ 4	ความหนืดของสารกระจายตัวแป้งถั่วเขียวดัดแปร (AMS) 5 % ที่ไม่เติมสารเพิ่มความยึดหยุ่น สารกระจายตัวแป้งถั่วเขียวดัดแปร 5 % ที่เติมกลีเซอรอลและซอร์บิทอล ความเข้มข้น 10 %, 20 % และ 30 % ของน้ำหนักแป้ง และสารละลาย HPMC E15LV 5%	42
ตารางที่ 5	ความหนาของฟิล์มแป้งถั่วเขียวดัดแปรและแผ่นฟิล์มแป้งถั่วเขียวดัดแปรที่ใช้สารเพิ่มความยึดหยุ่นในปริมาณที่แตกต่างกันเปรียบเทียบกับฟิล์ม HPMC E15LV ที่ไม่เติมสารเพิ่มความยึดหยุ่น	44
ตารางที่ 6	ความสามารถในการต้านแรงเจาะของฟิล์มแป้งถั่วเขียวดัดแปรที่เติมกลีเซอรอลและซอร์บิทอล ที่ความเข้มข้น 10 %, 20 % และ 30 % ของน้ำหนักแป้งเปรียบเทียบกับฟิล์มแป้งถั่วเขียวดัดแปรที่ไม่เติมสารเพิ่มความยึดหยุ่นและฟิล์ม HPMC E15LV ที่ไม่เติมสารเพิ่มความยึดหยุ่น	45
ตารางที่ 7	ความสามารถในการยึดของฟิล์มแป้งถั่วเขียวดัดแปรที่เติมกลีเซอรอลและซอร์บิทอล ที่ความเข้มข้น 10 %, 20 % และ 30 % ของน้ำหนักแป้งเปรียบเทียบกับฟิล์มแป้งถั่วเขียวดัดแปรที่ไม่เติมสารเพิ่มความยึดหยุ่นและฟิล์ม HPMC E15LV ที่ไม่เติมสารเพิ่มความยึดหยุ่น	47
ตารางที่ 8	การซึมผ่านไอน้ำของฟิล์มแป้งถั่วเขียวดัดแปรที่เติมกลีเซอรอลและซอร์บิทอล 10 %, 20 % และ 30 % ของน้ำหนักแป้ง เปรียบเทียบกับฟิล์มแป้งถั่วเขียวดัดแปรที่ไม่เติมสารเพิ่มความยึดหยุ่น และ HPMC E15LV ที่ไม่เติมสารเพิ่มความยึดหยุ่น	49
ตารางที่ 9	การให้คะแนนคุณสมบัติของฟิล์มแป้งถั่วเขียวดัดแปรที่เติมสารเพิ่มความยึดหยุ่นเพื่อคัดเลือกฟิล์มที่เติมกลีเซอรอลและซอร์บิทอลอย่างละ 1 ความเข้มข้น ในการนำไปใช้เคลือบกระดาษ	53
ตารางที่ 10	ความหนาของกระดาษเคลือบแป้งถั่วเขียวดัดแปรที่ไม่เติมสารเพิ่มความยึดหยุ่น กระดาษเคลือบแป้งถั่วเขียวดัดแปรที่เติมกลีเซอรอล 10 % และกระดาษเคลือบแป้งถั่วเขียวดัดแปรที่เติมซอร์บิทอล 30 % ที่ความหนาต่างกัน 3 ระดับ	54

สารบัญตาราง (ต่อ)

		หน้า
ตารางที่ 11	การด้านการเจาะของกระดาษเคลือบฟิล์มแข็งถั่วเขียวคัดแปรที่ไม่เติม สารเพิ่มความยืดหยุ่น กระดาษเคลือบฟิล์มแข็งถั่วเขียวคัดแปรที่เติมกลีเซอรอล 10 % และกระดาษเคลือบฟิล์มแข็งถั่วเขียวคัดแปรที่เติมซอร์บิทอล 30 % ที่ความหนาต่างกัน 3 ระดับ	56
ตารางที่ 12	ความสามารถในการยึดของกระดาษเคลือบฟิล์มแข็งถั่วเขียวคัดแปรที่ไม่เติม สารเพิ่มความยืดหยุ่น กระดาษเคลือบฟิล์มแข็งถั่วเขียวคัดแปรที่เติมกลีเซอรอล 10 % และกระดาษเคลือบฟิล์มแข็งถั่วเขียวคัดแปรที่เติมซอร์บิทอล 30 % ที่ความหนาต่างกัน 3 ระดับ	57
ตารางที่ 13	การซึมผ่านไอน้ำของกระดาษเคลือบฟิล์มแข็งถั่วเขียวคัดแปรที่ไม่เติม สารเพิ่มความยืดหยุ่น กระดาษเคลือบฟิล์มแข็งถั่วเขียวคัดแปรที่เติมกลีเซอรอล 10 % และกระดาษเคลือบฟิล์มแข็งถั่วเขียวคัดแปรที่เติมซอร์บิทอล 30 % ที่ความหนาต่างกัน 3 ระดับ	59

สารบัญภาพ

		หน้า
ภาพที่ 1	วัฏจักรของการนำวัตถุดิบจากธรรมชาติไปผลิตเป็นผลิตภัณฑ์พลาสติกชีวภาพเพื่อใช้งานกับผู้บริโภค	7
ภาพที่ 2	โครงสร้างของอะมิโลส	13
ภาพที่ 3	โครงสร้างของอะมิโลเพกติน	14
ภาพที่ 4	(A) แสดงรูปแบบการเลี้ยวเบนรังสีเอกซ์ของแป้งถั่วเขียวจากการศึกษาของ Chang และคณะ (2005) และ (B) แสดงรูปแบบการเลี้ยวเบนรังสีเอกซ์ของแป้งถั่วเขียวจากการศึกษาของ Kim และคณะ (2007) โดย A - E แสดงรูปแบบการเลี้ยวเบนรังสีเอกซ์ของแป้งถั่วเขียว 5 สายพันธุ์ ในประเทศเกาหลี	17
ภาพที่ 5	Grease permeation of ISP-coated papers with various plasticizer concentrations	23
ภาพที่ 6	ภาพถ่าย SEM ด้านหน้าและด้านข้างของกระดาษเคลือบWPI ที่ใช้ปริมาณการเคลือบต่างกัน	24
ภาพที่ 7	ลักษณะภายนอกของแป้งถั่วเขียวก่อนการตัดแปรที่กำลังขยาย 2,000 และ 5,000 เท่าและแป้งถั่วเขียวตัดแปรที่กำลังขยาย 2,000 และ 5,000 เท่า ด้วยกล้องถ่ายภาพอิเล็กตรอนแบบส่องกราด (SEM)	35
ภาพที่ 8	คุณสมบัติด้านอุณหภูมิต่างกันที่มีผลต่อการเปลี่ยนแปลงสถานะจากของแข็งไปเป็นเจลของแป้งถั่วเขียวและแป้งถั่วเขียวตัดแปร โดยมีอัตราส่วนระหว่างของแข็งกับน้ำ (30: 70 w/v)	37
ภาพที่ 9	รูปแบบการเลี้ยวเบนรังสีเอกซ์ของแป้งถั่วเขียวและแป้งถั่วเขียวตัดแปร ด้วยเครื่อง x - ray diffractometer (XRD)	38
ภาพที่ 10	การไหลของสารกระจายตัวแป้งถั่วเขียวตัดแปร 3 %, 4 % และ 5 % (w/w) ที่อุณหภูมิห้อง (26 °C)	40
ภาพที่ 11	ความหนืดของสารกระจายตัวแป้งถั่วเขียวตัดแปร 3 %, 4 % และ 5 % (w/w) ที่อุณหภูมิห้อง (26 °C)	40
ภาพที่ 12	การไหลของสารกระจายตัวแป้งถั่วเขียวตัดแปรที่ไม่เติมสารเพิ่มความยืดหยุ่น สารกระจายตัวแป้งถั่วเขียวตัดแปรที่เติมกลีเซอรอลและซอร์บิทอล ความเข้มข้น 10 % 20 % และ 30 % ของน้ำหนักแป้ง และสารละลาย HPMC E15LV	42
ภาพที่ 13	ลักษณะของฟิล์มแป้งถั่วเขียวตัดแปรที่ใช้สารเพิ่มความยืดหยุ่นที่ความเข้มข้น 10 %, 20 % และ 30 % เปรียบเทียบกับฟิล์มแป้งถั่วเขียวตัดแปรที่ไม่เติมสารเพิ่มความยืดหยุ่นและฟิล์ม HPLC E15LV ที่ไม่เติมสารเพิ่มความยืดหยุ่น	43
ภาพที่ 14	ความสามารถในการต้านแรงเจาะของแผ่นฟิล์มแป้งถั่วเขียวตัดแปรที่ใช้กลีเซอรอลและซอร์บิทอลเป็นสารเพิ่มความยืดหยุ่นในปริมาณที่แตกต่างกัน	46

สารบัญภาพ (ต่อ)

		หน้า
ภาพที่ 15	ความสามารถในการยึดของแผ่นฟิล์มแป้งถั่วเขียวคัดแปรที่ใช้กลีเซอรอลและซอร์บิทอลเป็นสารเพิ่มความยืดหยุ่นในปริมาณที่แตกต่างกัน	48
ภาพที่ 16	การซึมผ่านของไอน้ำของฟิล์มแป้งถั่วเขียวคัดแปรที่ไม่เติมสารเพิ่มความยืดหยุ่นและฟิล์มแป้งถั่วเขียวคัดแปรที่ใช้กลีเซอรอลและซอร์บิทอลเป็นสารเพิ่มความยืดหยุ่นในปริมาณที่แตกต่างกัน	50
ภาพที่ 17	การดูดความชื้นของฟิล์มแป้งถั่วเขียวคัดแปรที่ไม่เติมสารเพิ่มความยืดหยุ่นฟิล์มแป้งถั่วเขียวคัดแปรที่เติมกลีเซอรอลและซอร์บิทอลเป็นสารเพิ่มความยืดหยุ่นในปริมาณที่แตกต่างกัน และฟิล์ม HPMC E15LV	51
ภาพที่ 18	การละลายของฟิล์มแป้งถั่วเขียวคัดแปรที่ไม่เติมสารเพิ่มความยืดหยุ่นและฟิล์มแป้งถั่วเขียวคัดแปรที่เติมกลีเซอรอลและซอร์บิทอลเป็นสารเพิ่มความยืดหยุ่นในปริมาณที่แตกต่างกัน และฟิล์ม HPMC E15LV	52
ภาพที่ 19	ลักษณะกระดาษเคลือบฟิล์มแป้งถั่วเขียวคัดแปรที่ไม่เติมสารเพิ่มความยืดหยุ่นและกระดาษเคลือบฟิล์มแป้งถั่วเขียวคัดแปรที่เติมกลีเซอรอล 10 % ที่ความหนาต่างกัน 3 ระดับ	53
ภาพที่ 20	ลักษณะกระดาษเคลือบฟิล์มแป้งถั่วเขียวคัดแปรที่เติมซอร์บิทอล 30 % ที่ความหนาต่างกัน 3 ระดับ	54
ภาพที่ 21	ความสัมพันธ์ระหว่างความหนาของกระดาษเคลือบแป้งถั่วเขียวคัดแปรที่เพิ่มขึ้นเมื่อน้ำหนักของแป้งถั่วเขียวคัดแปรแห้งที่ใช้เคลือบกระดาษเพิ่มขึ้น	55
ภาพที่ 22	การต้านแรงเจาะของกระดาษเคลือบฟิล์มแป้งถั่วเขียวคัดแปรที่ไม่เติมสารเพิ่มความยืดหยุ่น กระดาษเคลือบฟิล์มแป้งถั่วเขียวคัดแปรที่เติมกลีเซอรอล 10 % และกระดาษเคลือบฟิล์มแป้งถั่วเขียวคัดแปรที่เติมซอร์บิทอล 30 % ที่ความหนาต่างกัน 3 ระดับ	56
ภาพที่ 23	ความสามารถในการยึดของกระดาษเคลือบฟิล์มแป้งถั่วเขียวคัดแปรที่ไม่เติมสารเพิ่มความยืดหยุ่น กระดาษเคลือบฟิล์มแป้งถั่วเขียวคัดแปรที่เติมกลีเซอรอล 10 % และกระดาษเคลือบฟิล์มแป้งถั่วเขียวคัดแปรที่เติมซอร์บิทอล 30 % ที่ความหนาต่างกัน 3 ระดับ	58
ภาพที่ 24	การซึมผ่านไอน้ำของกระดาษเคลือบฟิล์มแป้งถั่วเขียวคัดแปรที่ไม่เติมสารเพิ่มความยืดหยุ่น กระดาษเคลือบฟิล์มแป้งถั่วเขียวคัดแปรที่เติมกลีเซอรอล 10 % และกระดาษเคลือบฟิล์มแป้งถั่วเขียวคัดแปรที่เติมซอร์บิทอล 30 % ที่ความหนาต่างกัน 3 ระดับ	60

สารบัญญภาพ (ต่อ)

หน้า

ภาพที่ 25	พื้นที่การแพร่กระจายของน้ำมันกระดาษที่ไม่เคลือบ กระดาษเคลือบฟิล์ม แป้งถั่วเขียวคัดแปรที่ไม่เติมสารเพิ่มความยืดหยุ่น กระดาษเคลือบฟิล์มแป้ง ถั่วเขียวคัดแปรที่เติมกลีเซอรอล 10 % และกระดาษเคลือบฟิล์มแป้งถั่วเขียว คัดแปรที่เติมซอร์บิทอล 30 % ที่ความหนา 1, 2 และ 3 (65, 70 และ 75 ไมครอน ตามลำดับ) และที่เวลา 5 - 120 นาที	61
ภาพที่ 26	การแพร่กระจายของน้ำที่ซึมผ่านกระดาษเคลือบฟิล์มแป้งถั่วเขียวคัดแปรที่ ไม่เติมสารเพิ่มความยืดหยุ่น กระดาษเคลือบฟิล์มแป้งถั่วเขียวคัดแปรที่เติม กลีเซอรอล 10 % และกระดาษเคลือบฟิล์มแป้งถั่วเขียวคัดแปรที่เติม ซอร์บิทอล 30 % ที่ความหนา 1 (65 ไมครอน) เวลาที่ 0, 10, 60 และ 120 นาที	62
ภาพที่ 27	การแพร่กระจายของน้ำมันกระดาษเคลือบฟิล์มแป้งถั่วเขียวคัดแปรที่ไม่เติม สารเพิ่มความยืดหยุ่น กระดาษเคลือบฟิล์มแป้งถั่วเขียวคัดแปรที่เติมกลีเซอรอล 10 % และกระดาษเคลือบฟิล์มแป้งถั่วเขียวคัดแปรที่เติมซอร์บิทอล 30 % ที่ความหนา 2 (70 ไมครอน) เวลาที่ 0, 10, 60 และ 120 นาที	63
ภาพที่ 28	การแพร่กระจายของน้ำมันกระดาษเคลือบฟิล์มแป้งถั่วเขียวคัดแปรที่ไม่เติม สารเพิ่มความยืดหยุ่น กระดาษเคลือบฟิล์มแป้งถั่วเขียวคัดแปรที่เติมกลีเซอรอล 10 % และกระดาษเคลือบฟิล์มแป้งถั่วเขียวคัดแปรที่เติมซอร์บิทอล 30 % ที่ความหนา 3 (75 ไมครอน) เวลาที่ 0, 10, 60 และ 120 นาที	64
ภาพที่ 29	พื้นที่การแพร่กระจายของน้ำมันบนกระดาษเคลือบที่ไม่เคลือบ กระดาษเคลือบ ฟิล์มแป้งถั่วเขียวคัดแปรที่ไม่เติมสารเพิ่มความยืดหยุ่น กระดาษเคลือบฟิล์ม แป้งถั่วเขียวคัดแปรที่เติมกลีเซอรอล 10 % และกระดาษเคลือบฟิล์มแป้ง ถั่วเขียวคัดแปรที่เติมซอร์บิทอล 30 % ความหนา 65, 70 และ 75 ไมครอน	65
ภาพที่ 30	การแพร่กระจายของน้ำมันที่ซึมผ่านกระดาษเคลือบฟิล์มแป้งถั่วเขียวคัดแปร ที่ไม่เติมสารเพิ่มความยืดหยุ่น กระดาษเคลือบฟิล์มแป้งถั่วเขียวคัดแปรที่เติม กลีเซอรอล 10 % และกระดาษเคลือบฟิล์มแป้งถั่วเขียวคัดแปรที่เติมซอร์บิทอล 30 % ความหนาระดับที่ 1 (65 ไมครอน) ที่เวลา 0, 0.5, 3 และ 6 ชั่วโมง เปรียบเทียบกับกระดาษที่ไม่เคลือบ	66
ภาพที่ 31	การแพร่กระจายของน้ำมันบนกระดาษเคลือบฟิล์มแป้งถั่วเขียวคัดแปรที่ไม่เติม สารเพิ่มความยืดหยุ่น กระดาษเคลือบฟิล์มแป้งถั่วเขียวคัดแปรที่เติมกลีเซอรอล 10 % และกระดาษเคลือบฟิล์มแป้งถั่วเขียวคัดแปรที่เติมซอร์บิทอล 30 % ความหนาระดับที่ 2 (70 ไมครอน) ที่เวลา 0, 0.5, 3 และ 6 ชั่วโมง	67

สารบัญญภาพ (ต่อ)

หน้า

ภาพที่ 32	การแพร่กระจายของน้ำมันบนกระดาษเคลือบฟิล์มแป้งถั่วเขียวคัดแปรที่ไม่เติมสารเพิ่มความชื้น กระดาษเคลือบฟิล์มแป้งถั่วเขียวคัดแปรที่เติมกลีเซอรอล 10 % และกระดาษเคลือบฟิล์มแป้งถั่วเขียวคัดแปรที่เติมซอร์บิทอล 30 % ความหนาระดับที่ 3 (75 ไมครอน) ที่เวลา 0, 0.5, 3 และ 6 ชั่วโมง	68
-----------	---	----

รายการสัญลักษณ์และคำย่อ

°C	คือ	องศาเซลเซียส
HPMC	คือ	ไฮดรอกซีโพลพิลเมทิลเซลลูโลส
XRD	คือ	เทคนิคการเลี้ยวเบนของรังสีเอกซ์
g	คือ	กรัม
m ²	คือ	ตารางเมตร
mm ²	คือ	ตารางมิลลิเมตร
M	คือ	โมลาร์
Kg	คือ	กิโลกรัม
% v/v	คือ	ร้อยละ โดยปริมาตรต่อปริมาตร
min	คือ	นาที
DSC	คือ	ดิฟเฟอเรนเชียลสแกนนิ่งแคลอริเมทรี
ml	คือ	มิลลิลิตร
w/w	คือ	น้ำหนักต่อน้ำหนัก
MPa	คือ	เมกะปาสคาล
SEM	คือ	กล้องถ่ายภาพอิเล็กตรอนแบบส่องกราด
J	คือ	จูล
w/v	คือ	น้ำหนักต่อปริมาตร
cps	คือ	เซนติพอยส์
µm	คือ	ไมครอน